

## II-76 二、三の掃流砂量公式の比較検討

武藏工業大学 王 哲 方一

掃流砂量に関する Einstein 公式は基本式も、全くない諸係数も、いくつもの矛盾点をおおむねの余地が残されており、1950年の形と係数では実験値と比較的一致するとの評価されている。Einstein 公式に類似するものとして VeliKanov の式があり、やはり跳躍をモデルとしているが、以下にその確率の表示と Einstein の基本式と異なっている。これに式中の重要な係数の使用すべき数値が示されておらず、実際の計算は不可能である。Rossinskii の式は野瀬と清瀬が考案した表面の一層のみを粗くモデル化するものである。本文では基本式は充分検討されていないが流速比、抵抗、諸係数を極端に元計算していくつかの実験資料と Einstein の掃流砂因数と比較して見た。不明の係数は假定した。検証に使った資料は一枚程度、平坦河床のものを使んだ。計算は少しが補足中である。

§1. VeliKanov 公式： Einstein 公式は  $\Delta t N_i = \bar{dx} \cdot N_b \cdot P_i$  で  $\bar{dx} = \lambda d / (1 - P_i)$  といふが、  
 $N_i = N_b \lambda \cdot d \cdot P_i / (1 - P_i) \Delta t$  で  $\Delta t = \bar{dx} \alpha / w_f$ ;  $P_i = P_r (F_0 / G^*)$ ;  $F_0 = N_b C_w d^3$ ,  
 $N_b = \sqrt{C_w} d^2$  を入力で求めると VeliKanov は  
 $\Delta t \cdot N_i = N_b \bar{dx} \cdot P_i P_r (1 + P_2^2 + P_3^3 + \dots) = N_b \bar{dx} \cdot F$  (1.2)

の式を使っている。この  $F = P_r P_2 / (1 - P_2)$ ;  $w_f$ : 洗滌;  $N_b$ : 單位時間通過の数  
 $P_2$  は  $w^* / w_f$  の確率、正規分布で  $P_2 = \frac{1}{\sqrt{2\pi} \sigma_{w_f}} \int_{w_f}^{\infty} \exp(-\frac{w^2}{2\sigma_{w_f}^2}) dw$   
 $P_r$  は 掘力 > 自由の確率であるが、Einstein と大差はない。  
 $P_r = P_r [\bar{u}_b (\sqrt{B^* \Psi} - 1) \leq u'_b < \infty] = \frac{1}{\sqrt{2\pi} \sigma_{u'_b}} \int_{\bar{u}_b (\sqrt{B^* \Psi} - 1)}^{\infty} \exp\left[-\frac{u'^2}{2\sigma_{u'_b}^2}\right] du'$

といひ。 (1.1) 式を書き直すと  $\frac{\bar{dx}}{\Delta t} = \bar{u}_b$  となる  $F_0 = \frac{C_w}{C_A} \bar{u}_b \cdot d \cdot F$  (1.3)

を得る。この  $F = [1 - \operatorname{erf}(\mu)] [1 - \operatorname{erf}(\nu)] / 2 [1 + \operatorname{erf}(\mu)]$

$\mu = \bar{u}_b (\sqrt{B^* \Psi} - 1) / \sqrt{2} \sigma_{u'_b}$ ,  $\nu = w_f / \sqrt{2} \sigma_{w_f}$ , erfc() は誤差関数

Gilbert の data で用いて  $\frac{C_w}{C_A} \bar{u}_b = A_0 \bar{u}_m$  で  $A_0 = 1.62$  を得る。また  $\sigma_{u'_b} \approx \sigma_{w_f}$  は  $\sigma_{u'_b} \approx 2 \bar{u}_m$ ,  $\sigma_{w_f} \approx \bar{u}_m$  で  $B^*$  の使用すべき値は何も觸れておらず、係数計算は不可能である。

底面濃度と  $F = P_r P_2 / (1 - P_2)$  は絵図と書いてあるが (1956 年 范記), 最初の出現は 1945 年のとおりである。本文の (1.2) 式は VeliKanov の本 (1955) が、また (1.3) 式中の係数は Grisham (1969) の引用である。係数  $A_0$  の内容は不明であるが Einstein の  $\Delta t \alpha / w_f$  に類似して  $\Delta t \alpha \bar{dx} / \bar{u}_b = C_0 \alpha / \bar{u}_b$  と書けば  $A_0 = \frac{C_0}{C_A} \frac{\alpha}{C_0}$  となる。この  $\alpha = \bar{u}_b / \bar{u}_m$ ;  $\bar{u}_m$  は断面平均流速;  $\bar{u}_b$ : 粒子 level での流速比を計算では  $\beta'$  は暫定的で Einstein の  $\beta' = B^* \gamma_0 = 0.143 \times 0.5 = 0.07$  で  $\beta'$  の  $\frac{1}{3}$  で  $\beta = 0.023$  の 2 種類を使用した。また  $\sigma_{u'_b} = k_1 \bar{u}_m$ ,  $\sigma_{w_f} = k_2 \bar{u}_m$  で原式の  $k_1 = 2$ ,  $k_2 = 1$  が  $\beta$  に

實験仁の分布式 (1869, 1904 年, Nas) を用いて見た。實 (Dow) の式は  
 $\overline{U^2}/U_* = 0.80 + 0.046 \frac{h}{U_*} |\frac{du}{dy}|$ ;  $\overline{W^2}/U_* = 0.80 + 0.0715 (1 - \frac{h}{h}) \frac{h}{U_*} |\frac{du}{dy}|$ ;  
 $\overline{UW} = 0.85 \bar{U}_*$ ,  $\overline{WU} = 0.85 \bar{W}_*$ ;  $y'$  は水面よりの高さ。  
- 例:  $x$  で  $h=2.2$  cm,  $d=2$  cm で  $h/d=0.091$ ,  $g=9.81$  m/s,  $\overline{U^2} = 2.2 U_*$ ,  
 $\overline{W^2} = U_*^2$  とし,  $\bar{U}_* = 2.2 U_*/0.85 = 2.6 U_*$ ,  $\bar{W}_* = U_*/0.85 = 1.18 U_*$  と得る。

計算結果は Fig. 1 に示す (Umt. Keulegan 式使用)

検討した資料は 16 種.  $x_0, x_0$  は実測値.

○印は  $h$  使用の  $\phi$ , △印は  $R_b$  使用の  $\phi$

に対応, ×印は  $h_1=2$ ,  $h_2=1$ ,

$B' = 0.07 \times \frac{1}{3}$  で計算した値 3 印は  $B'=0.07$

$x$  で  $h_1=h_2$  を Dow 公式の値, 異印は

$B'=0.07$ ,  $h_1=2$ ,  $h_2=1$  と  $\delta_3$  もの。

△表示の測定値は Einstein 曲線と殆んど一致

○表示のものは幾分下, 部算値はすべて

低くなっている。Einstein の  $\phi_E$  と無印相当の

$\phi_r$  の比  $K = \phi_E/\phi_r$  は ○△の区別せず平均

すれば 7.2, 計用は 3.3 ～ 13.4 となってる。

$K$  は  $lg \frac{1}{\phi}$  の値に随直線に減少する傾向に

ある。 $B'$  の値は中の増加とともに大きくなる。

$B'$  の過度の増加は揚力の降低を不都合にする。

將に Dow 公式の使用を中心と増加させてみる。

左記用の資料には更に検討は要する。

(1.3) 式を書きえた  $\phi = \frac{\theta_B}{d \sqrt{g d}} = A_0 a_m F \sqrt{\frac{U_r}{g d}}$  の右边を  $d, i, h^{1/2}$  が変数によって計算し Einstein 曲線との比較を考える。

8.2. Rossinskij の式: Rossinskij (1967, Soviet Hydrology No. 2) は揚流動量を静止水と

滑面水の和の式

$$g_{BW} = \beta \cdot \theta_s \cdot d (\varphi_r u_r + \varphi_{ant.} u_{sl}) \quad \dots \quad (2.1)$$

で表示している。

ここで  $g_{BW}$ : 流れ量 (流量);  $\beta$ : 粒子の形状, 実粒子の遮へい係数を表す係数, 利用小川上では 0.2;  $d$ : 粒径;  $u_r$ : 轉動速度,  $u_{sl}$ : 滑動速度

$\varphi_r$ : 粒子の転動係数 =  $\varphi - \varphi_{ant}$

$\varphi$ : 粒子の転動係数・速度を超過する脈動速度の相対的時間長

$$\varphi = \frac{1}{\sqrt{2\pi} g_{BW}} \int_{U_{mc}}^{\infty} e^{-\frac{(U_m - U_p)^2}{2g_{BW}^2}} dU_p = \frac{1}{2} \left[ 1 - \operatorname{erf} \left\{ \frac{(1+3K_{Bac}) \frac{U_{mc}}{U_m} - 1}{K_{Bac}} \right\} \right]$$

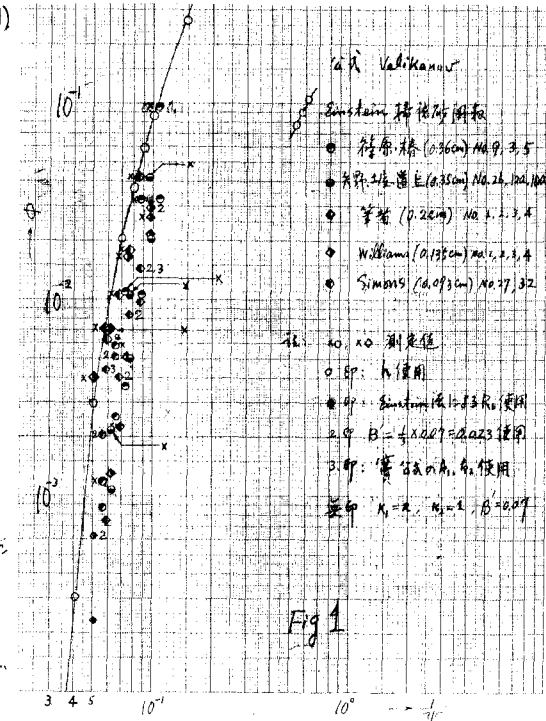


Fig. 1

ただし計算の途中で  $K_{ub} = \bar{U}_{ub}/\bar{U}_b$ ,  $K_{ubc} = \bar{U}_{ubc}/\bar{U}_{bc}$ ,  $U_{bc} = (1+3K_{ubc})\bar{U}_{bc}$ ,  $\bar{U}_{bc}/\bar{U}_b = U_{mc}/U_m$  であることを記す。添字 c は渦流の平均、添字 m は断面平均値。

Point は直線だ、無重力をせじめ渦速を超過する場合  $q_{out} = \frac{1}{12\pi G_{ub}} \int_{U_{ub}}^{\infty} e^{-\frac{U_b^2}{2G_{ub}}} dU_b$

$$= \frac{1}{2} \left[ 1 - \operatorname{erf} \left\{ \frac{U_{ub}-1}{K_{ub}} \right\} \right] \quad \text{ここで } U_{ub}/\bar{U}_b = U_{ub}/U_m \approx 1.3.$$

$$\therefore U_{ub}/U_{ubc} = \sqrt{\frac{2}{35} Sg d} \approx 1 = \frac{s}{(P-P)/P}.$$

$K_{ub} + K_{ubc}$  は  $d/h$  の関数で graph で示されている。この場合は不規則である。 $d/h$  の小さい値で  $K_{ub} \approx 0.16$  で、 $d/h > 0.10$  の後は Constant (約 0.32) となる。

また  $U_{ub} = U_{ubc}/\alpha_r$  である、 $\therefore \alpha_r = (1+m)(\frac{d}{h})^m$ ,  $m = 2.8\sqrt{g}/C$  (Nummer)

式に 摩擦  $F_x = \rho \frac{\pi}{4} d^2 \beta (U_b - U_r)^2$ , 拒抗  $F_z = \frac{\pi}{6} d^2 \rho \beta (U_b - U_r)^2$ , おまけ  $T = f(G' - F_z)$  を

$F_x - T = 0$  とすると  $U_r = 0$  で  $U_b = U_{bc}$  で  $U_r = U_b - U_{bc}$  で  $\bar{U}_r = \bar{U}_b - \bar{U}_{bc}$  となる。

したがって 游動速度は  $\bar{U}_{sp} \neq \bar{U}_b$  となる。よし  $\bar{U}_b = \alpha_r U_m$ ,  $\bar{U}_{bc} = \alpha_r U_{mc}$  とすると (2.1) 式は

$$f_B = \beta \cdot d \cdot \alpha_r [ (\varphi - q_{out})(U_m - U_{mc}) + q_{out} U_m ]$$

$$= \beta \cdot d \cdot \alpha_r [ \varphi U_m - (\varphi - q_{out}) U_{mc} ] \quad \dots \dots \quad (2.2)$$

$U_{mc}$  は Goncharov の式  $U_{mc} = \lg(\frac{8\pi}{d}) \sqrt{2.5d}$  (m 年) を使用している。

GB は 2D 球 (体積) 測定の i と h を用いて実際の運動量と比較した。

比較計算の結果は Fig 2 に示す。相通り法がないが、普通、上から下通りの公式の組合を使用した。

即ち 原文では  $U_m$  の求め方は指定してないが、該渦流がなければ抵抗公式を選ばねばならぬ。  $U_m$  を既知とすると  $U_m = a_m U_*$ ,  $a_m = C/g$  の  $a_m$  は他の式を使用した。

(a) Keulegan :  $a_m = 6.0 + 5.75 \lg \frac{R}{d}$  (b) Agroskin :  $a_m = \frac{C}{g}$ ;  $C = \frac{1}{n} + 17.72 \lg R$ ,

$n = 1^{1/6}/22.2$ ,  $\Delta = 0.7 d$  (c) Goncharov :  $\frac{C}{g} = 4\sqrt{2} \lg(6.15 R/d)$ ,  $\Delta = 0.7 d$

直線平均速度の比  $\alpha_r = \bar{U}_b/U_m$  は 1.2 の値を用いた。

(a) Keulegan :  $a_b = 8.5 + 5.75 \lg(1/d)$ ,  $\gamma/b = 0.35$ ,  $\alpha_r = a_b/a_m$

(b) " " " ",  $\gamma/b = 0.70$ , "

(c) 指数分布 Nummer の M 使用 :  $\alpha_r = (1+m)(\frac{d}{h})^m$ ,  $m = 2.8\sqrt{g}/C$ .

(d) Goncharov :  $a_b = 1.25/\lg[1.65 R/\Delta]$ ,  $\alpha_r = a_b/a_m$

(e) 密度 :  $\alpha_r = \frac{3\psi}{3\psi+1}$ ,  $\psi = 0.26(h/d)^{0.12}$

計算結果は Fig 2 に示す。普通の対応する値は次の内容を有す。

(1)  $U_m(K)$ ,  $a_b$  or  $\alpha_r(K)$ ,  $\gamma/b = 0.35$  (2)  $U_m(K)$ ,  $a_b$  or  $\alpha_r(K)$ ,  $\gamma/b = 0.70$

(3)  $U_m(K)$ ,  $\alpha_r(R.N)$  (4)  $U_m(K)$ ,  $\alpha_r(D)$

(5)  $U_m(A)$ ,  $\alpha_r(R.N)$  (6)  $U_m(A)$ ,  $\alpha_r(D)$

(7)  $U_m(G)$ ,  $a_b$  or  $\alpha_r(G)$

$K, A, G$  は Keulegan, Agroskin, Goncharov, D は 密度, R.N は 指数分布, Nummer

$\alpha m$  の使用を意味する

計算結果は分散しているが大部分は実測値と

Einstein 曲線より大きく出ている。荷重の大きさ

支擋空隙の  $a$  が  $a_0$  より大きくなると高濃度によるモードの

変化か? -  $U_{beam}$  の中の係数は揚力係数  $C_L$  (Einstein 表示)

$\propto C_L = 25 \alpha$  の関係があり、 $C_L = 0.12/5 \cdot \frac{1}{d} = 0.6$  (参考図 1966)

$\alpha$  が揚力係数に相当し、運動層中の揚力係数

は固定球とどう違うか、Kub は Kalaneechuk は 0.33 と 0.25 (1942,

1947), Pantelopoulos は 0.167 (1961); 研究者により

異なり  $\alpha$  は 厚さ  $d$  で  $U_{beam} \propto d^{-1/2}$  となること;  $b$  のべき乗を、軸滑、跳動の割合、区分

基準など複数の式が残る。この式も物性  $i, d, h$  と計算 Einstein の式との比較を試みている

波砂問題で北大岸教授より発表示唆され、私が成績

波砂問題より多くの復元をおこなう、この研究を始めた

